

بررسی رفتار تونل تحت اثر امواج زلزله به روش ترکیبی اجزاء محدود و المانهای مرزی

اسدالله نورزاد

استادیار گروه مهندسی عمران - دانشکده فنی - دانشگاه تهران

خسرو برگی

دانشیار گروه مهندسی عمران - دانشکده فنی - دانشگاه تهران

سعید چشمه کانی

دانشجوی دکتری سازه - دانشکده فنی - دانشگاه تهران

(تاریخ دریافت ۷۶/۳/۱۰، تاریخ تصویب ۷۶/۹/۲۲)

چکیده

امروزه تونلها نقش عمده‌ای در پیشرفت کشورها دارند، بنابراین باید بگونه‌ای طرح شوند که در برابر بارهای استاتیکی و دینامیکی وارده، مقاومت کافی داشته باشند. در این مقاله، نحوه تحلیل تونلی عمیق با شکل دلخواه تحت اثر یک موج زلزله متناوب در یک محیط ارتجاعی خطی در حالت کرنش مسطح^(۱) بررسی شده است. روش المانهای مرزی^(۲) (BEM) بهترین روش برای حل مسائل انتشار امواج الاستیک بویژه در محیطهای بینهایت یانیمه بینهایت می‌باشد. در این روش، فقط مرز مساله المان بندی می‌شود، بنابراین کاهش زیادی در ابعاد مساله ایجاد می‌شود. همچنین شرط تشعشع بطور اتوماتیک ارضاء می‌گردد. به همین دلیل برای تونل بدون دیواره از روش المانهای مرزی (BEM) استفاده شده و تنها مرز تونل جزء بندی گردیده و تحلیل انجام شده است و برای تونل دارای دیواره، از روش اجزاء محدود^(۳) (FEM) برای تحلیل دیواره و از روش المانهای مرزی (BEM) برای تحلیل مرز محیط نامحدود استفاده شده و در نهایت این دو باهم ترکیب شده‌اند و تنشها و تغییر مکانها در نقاط مورد نظر بدست آمده است. المان مورد استفاده در روش المانهای مرزی از نوع سه گرهی همگام و المان مورد استفاده در روش اجزاء محدود در تحلیل دیواره، المانهای مثلثی می‌باشد و سرعت همگرایی آنها، نمایانگر مناسب بودن این المانها می‌باشد. در انتها چند حالت خاص تونل مورد بررسی قرار گرفته و نتایج حاصله ارائه شده است.

کلید واژه ها: المانهای مرزی، المانهای محدود، تونل، زلزله، تنش، تغییر مکان

مقدمه

پاسخ یک تونل دارای دیواره تحت اثر یک موج با پلاریزاسیون افقی (SH) در نیم - فضا را با مطالعه یک جفت تونل در فضا و با استفاده از روش تبدیل مختصات بدست آوردند. مانولیس و بسکوس^(۴) (۱۹۸۳ - ۱۹۸۱ - ۱۹۸۰) با استفاده از روش المانهای مرزی مساله انتشار امواج را حل نمودند. نیوا^(۷) (۱۹۷۶، ۱۹۷۵) و کوبایاشی و نیشیمورا^(۸) (۱۹۸۲) نیز مساله دوبعدی انتشار امواج در حالت

تحلیل سازه‌های زیرزمینی بدلیل اندرکنش با محیط نامحدود اطراف بویژه در حالت دینامیکی بسیار پیچیده است. به همین دلیل نسبت به سازه‌های روی زمین، تحقیقات کمتری در مورد آنها انجام شده است. پائو و مائو^(۴) (۱۹۷۳) اولین کسانی بودند که تفرق امواج در اطراف یک حفره استوانه‌ای در یک محیط بینهایت را با استفاده از بسط تابع موج بررسی کردند و تمرکز تنش حاصله را بدست آوردند. سپس لی و تریفوناک^(۵) (۱۹۷۹)

1 - Plane Strain

2 - Boundary Element Method

3 - Finite Element Method

4 - Pao & Mow

5 - Lee & Trifunac

6 - Manolis & Beskos

7 - Niwa

8 - Kobayashi & Nishimura

و کرنش می‌باشند، با ترکیب سه رابطه فوق، معادله ناویر^(۳) در حالت دینامیکی مطابق زیر بدست می‌آید:

$$(\lambda + \mu)U_{i,jj} + \mu U_{j,ii} + \rho b_i = \rho \ddot{U}_j \quad (3-2)$$

با تعریف سرعت انتشار موج فشاری^(۴) (طولی) به شکل، رابطه $C_1^2 = (\lambda + 2\mu)/\rho$ و موج برشی^(۵) به شکل $C_2^2 = \mu/\rho$ معادله (۳-۲) را می‌توان به شکل زیر نوشت:

$$(C_1^2 - C_2^2)U_{i,jj} + C_2^2 U_{j,ii} + b_i = \ddot{U}_j \quad (3-3)$$

معمولاً حل عددی مسائل الاستودینامیک بصورت مستقیم در دامنه زمانی بسیار مشکل و پرهزینه است، به همین دلیل از تبدیلهای انتگرالی مانند تبدیل لاپلاس و یا فوریه استفاده می‌شود و معادله دیفرانسیل حاکم که در دامنه تبدیل یافته شکل جدیدی به خود می‌گیرد با روشهای ساده‌تری حل شده و پاسخ بدست می‌آید، سپس با استفاده از تبدیل معکوس، پاسخ در دامنه زمانی حاصل می‌شود. در این مقاله از تبدیل فوریه استفاده می‌شود و از آنجا که موج وارده هارمونیک می‌باشد، پاسخ نیز در دامنه فرکانسی (حاصل از تبدیل فوریه) بدست می‌آید و دیگر نیازی به تبدیل معکوس نیست. تبدیل فوریه مطابق زیر تعریف می‌شود:

$$F(f) = \bar{f}(X, \omega) = \int_{-\infty}^{+\infty} f(X, t) e^{i\omega t} dt \quad (3-4)$$

در نتیجه اعمال این تبدیل، رابطه (۳-۳) به شکل زیر در می‌آید:

$$(C_1^2 - C_2^2)\bar{U}_{i,jj} + C_2^2 \bar{U}_{j,ii} + \bar{b}_i + \omega^2 U_j = 0 \quad (3-5)$$

در رابطه فوق شرایط اولیه در دامنه V برابر صفر می‌باشد:

$$U_i(X, t=0) = 0 \quad (3-6)$$

$$U_i(X, t=0) = 0$$

و باید شرایط مرزی

$$U_i(X, \omega) = U_i \quad X \in S_1$$

$$t_i(X, \omega) = \sigma_{ij} n_j = T_i \quad X \in S_2$$

برقرار باشد. در رابطه فوق t_i بردار تنش^(۶) است و

$S = S_1 + S_2$ مرز جسم مورد نظر می‌باشد.

هارمونیک را بررسی کردند. در سالهای اخیر نیز تحقیقات بیشتری در زمینه های مختلف الاستودینامیک انجام گرفته و باعث پیشرفت این موضوع در ابعاد گوناگون شده است. هدف از این مقاله، ارائه یک روش عددی کارا و مناسب (مبتنی بر روش المانهای مرزی و یا ترکیب آن با روش اجزاء محدود) برای حل مساله تفرق امواج ناشی از برخورد موج هارمونیک زلزله با پلاریزاسیون قائم (موج SV) و موج طولی (P) به یک تونل دارای دیواره یا بدون دیواره می‌باشد. بدین منظور ابتدا روش المانهای مرزی در مورد مسائل الاستودینامیک بررسی می‌شود سپس نحوه ترکیب روش المانهای مرزی و روش المانهای محدود شرح داده می‌شود و در نهایت مساله تفرق امواج مورد مطالعه قرار می‌گیرد. در انتها نیز نتایج حاصل از بررسی چند حالت خاص تونل ارائه می‌شود.

روش BEM در مسائل الاستودینامیک

در الاستودینامیک، معادلات اساسی حاکم بر رفتار جسم مطابق زیر می‌باشند:

(۱) معادله حرکت:

$$\sigma_{i,jj} + \rho b_j = \rho \ddot{U}_j \quad (1-1)$$

(۲) رابطه بین تنش و کرنش:

$$\sigma_{ij} = \lambda \varepsilon_{kk} \delta_{ij} + 2\mu \varepsilon_{ij} \quad (2-1)$$

(۳) رابطه بین کرنش و تغییر مکان:

$$\varepsilon_{ij} = \frac{1}{2} (U_{i,j} + U_{j,i}) \quad (3-1)$$

در رابطه فوق علامت ∂ نشان دهنده نما است بعنوان مثال:

$$U_{i,j} = \frac{\partial U_i}{\partial X_j}$$

b_j نشان دهنده نیروی حجمی^(۱) و δ_{ij} دلتای کرونیگر^(۲) است که مطابق زیر تعریف می‌شود:

$$\delta_{ij} = \begin{cases} 1 & i=j \\ 0 & i \neq j \end{cases}$$

u_i تغییر مکان در راستای X_i است و σ_{ij} و ε_{ij} تانسورهای تنش

اساسی بعنوان وضعیت دوم الاستودینامیکی در قضیه بتی تعمیم یافته فرم انتگرالی زیر حاصل می شود:

$$C_{ij}(\xi)\bar{U}_i(\xi,\omega) = \int_{\Gamma} \{ \bar{G}_{ij}(X,\xi,\omega) \bar{t}_i(X,\omega) - \bar{F}_{ij}(X,\xi,\omega) \bar{U}_i(X,\omega) \} d\Gamma(X) \quad (3-12)$$

در این رابطه C_{ij} جمله پرش^(۷) است، در صورتیکه ξ درون دامنه باشد $C_{ij} = \delta_{ij}$ و در حالتی که ξ خارج از دامنه باشد $C_{ij} = 0$ و اگر ξ روی مرز Γ باشد $C_{ij} = 0.5 \delta_{ij}$ خواهد بود. در عمل مرز Γ المان بندی می شود، در صورتیکه M المان روی مرز وجود داشته باشد، رابطه (۳-۱۲) به شکل زیر در می آید:

$$C_{ij}(\xi)\bar{U}_i(\xi,\omega) = \sum_{m=1}^M \int_{\Gamma_m} \{ G_{ij}(\bar{X},\xi,\omega) t_i(\bar{X},\omega) - \bar{F}_{ij}(\bar{X},\xi,\omega) \bar{U}_i(\bar{X},\omega) \} d\Gamma(\bar{X}) \quad (3-13)$$

در المانهای ایزوپارامتریک می توان روی هر المان، متغیرها را با توابع شکلی یکسانی برحسب مقادیر گرهی مطابق

$$\begin{aligned} X_i(\eta) &= N_c(\eta) X_i^c \\ U_i(\eta) &= N_c(\eta) U_i^c \\ t_i(\eta) &= N_c(\eta) t_i^c \end{aligned} \quad (3-14)$$

بنابراین اگر از المانهای سه گرهی ایزوپارامتریک استفاده شود $(c=1,2,3)$ رابطه (۳-۱۵) به شکل زیر تبدیل می شود:

$$C_{ij}(\xi)\bar{U}_i(\xi,\omega) = \sum_{m=1}^M \left\{ \sum_{c=1}^3 \left[\int_{-1}^1 G_{ij}(\bar{X},\xi,\omega) N_c(\eta) J(\eta) d\eta \right] t_i(\bar{X},\omega) - \sum_{c=1}^3 \left[\int_{-1}^1 \bar{F}_{ij}(\bar{X},\xi,\omega) N_c(\eta) J(\eta) d\eta \right] U_i^c(\bar{X},\omega) \right\} \quad (3-15)$$

پاسخهای اساسی

برای بدست آوردن معادلات انتگرالی مرز نیاز به محاسبه پاسخهای اساسی تغییر مکان و بردار تنش می باشد. به منظور محاسبه پاسخهای اساسی، نیروی حجمی در رابطه (۳-۷) با توزیع خاصی مطابق زیر جایگزین می شود:

$$b_j = \delta(X - \xi) e_j \quad (3-7)$$

بدین ترتیب می توان جواب اساسی در نقطه X (دریافت کننده^(۱)) برای مولفه i تغییر مکان ناشی از یک بار متمرکز در نقطه ξ (منبع^(۲)) در جهت z را بدست آورد. روابط مربوطه مطابق زیر می باشند:

$$\bar{U}_i = \bar{G}_{ij} e_j \quad (3-8)$$

$$\bar{t}_i = \bar{F}_{ij} e_j \quad (3-9)$$

که در آنها:

$$\bar{G}_{ij}(X, \xi, \omega) = \frac{i}{4\rho} \left[\frac{1}{C_2^2} \delta_{ij} H_0^{(1)}(K_2 r) - \frac{1}{\omega^2} \frac{\partial^2}{\partial X_i \partial X_j} \times \{ H_0^{(1)}(K_1 r) - H_0^{(1)}(K_2 r) \} \right] \quad (3-10)$$

$$\bar{F}_{ij}(X, \xi, \omega) = \frac{\partial \bar{G}(X, \xi, \omega)}{\partial n} \quad (3-11)$$

که \bar{F}_{ij} و \bar{G}_{ij} به ترتیب هسته های تغییر مکان^(۳) و بردار تنش^(۴) نامیده می شوند. در روابط فوق $H_0^{(1)}$ تابع هنکل^(۵) از نوع اول و از درجه صفر است و مطابق زیر تعریف می شود:

$$H_0^{(1)}(X) = J_0(X) + iY_0(X)$$

که $J_0(X)$ و $Y_0(X)$ به ترتیب توابع بسل نوع اول و دوم رتبه صفر می باشند. همچنین $K_1 = \frac{\omega}{C_1}$ و $K_2 = \frac{\omega}{C_2}$ خواهد بود.

معادله انتگرالی مرزی

با استفاده از شکل تعمیم یافته قضیه تقابل بتی^(۶) برای دو وضعیت دینامیکی تبدیل یافته معادلات انتگرالی بدست می آیند. در دامنه فرکانسی، با جایگزین پاسخهای

$$[F^2]\{U^2\} = [G^2]\{t^2\} \quad (5)$$

ترکیب دو ناحیه V_1 و V_2 با اعمال رابطه تعادل و سازگاری در سطح مشترک آنها S_{12} مطابق زیر انجام می‌گیرد:

$$U_{12}^1 = U_{12}^2 = U_{12} \quad (6)$$

$$t_{12}^1 = -t_{12}^2 = t_{12}$$

دو روش برای ترکیب BEM و FEM (بادر نظر گرفتن شرایط تعادل و سازگاری در سطح مشترک) وجود دارد. در روش اول فرمول بندی روش BEM با یک سری عملیات ریاضی به شکلی مشابه FEM تبدیل می‌شود. در واقع با V_2 همانند یک ناحیه از نوع اجزاء محدود رفتار می‌گردد. در حالیکه در روش دوم فرمول بندی FEM مشابه BEM می‌گردد. در این مقاله روش اول را مورد بررسی قرار می‌دهیم. مطابق این روش بردارهای تنش گرهی با رابطه زیر تبدیل به نیروهای گرهی می‌شود:

$$\{R^2\} = [M^2]\{t^2\} \quad (7)$$

که ماتریس $[M^2]$ از رابطه زیر بدست می‌آید:

$$M^2 = \int_{\Gamma} N^T N d\Gamma \quad (8)$$

در رابطه فوق ماتریس $[N]$ ماتریس توابع شکلی بخش V_2 (که با BEM آنالیز می‌شود) و Γ مرز جسم می‌باشد. رابطه (۵) را می‌توان به شکل زیر نوشت:

$$[G^2]^{-1} [F^2]\{U^2\} = \{t^2\} \quad (9)$$

با پیش ضرب طرفین معادله فوق در $[M^2]$ خواهیم داشت:

$$[M^2][G^2]^{-1}[F^2]\{U^2\} = \{R^2\} \quad (10)$$

ماتریس $[D^2]$ مطابق زیر تعریف می‌شود:

$$[D^2] = [M^2][G^2]^{-1}[F^2] \quad (11)$$

بنابراین رابطه (۱۰) به شکل زیر تبدیل می‌شود:

$$[D^2]\{U^2\} = \{R^2\} \quad (12)$$

بدین ترتیب فرمول بندی روش BEM مشابه FEM شد. روابط (۴) و (۱۲) را می‌توان به سادگی ترکیب

در رابطه فوق η در بازه $[-1,1]$ تغییر می‌کند بنابراین برای انتگرال گیری می‌توان از روشهای عددی مانند روش گوس - لژاندر^(۱) استفاده نمود. با انطباق پی در پی ξ بر تک تک گره‌های مرزی و انجام انتگرال گیری فوق، یک سیستم معادلات جبری حاصل می‌شود. این معادلات در شکل ماتریسی مطابق زیر می‌باشند:

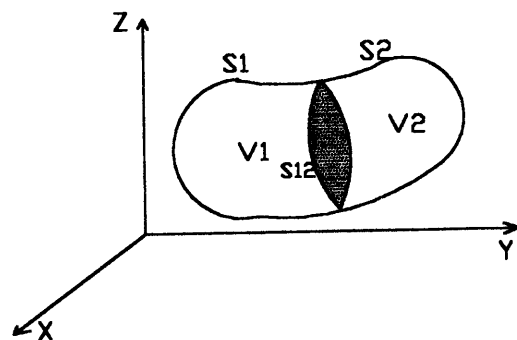
$$[G]\{t\} = [F]\{U\} \quad (3-16)$$

لازم به ذکر است که C_{ij} در ماتریس $[F]$ مستتر شده است، $\{t\}$ و $\{u\}$ نیز بردارهای تنش و تغییر مکانهای گرهی هستند. با حل معادله فوق مجهولات مرزی محاسبه خواهند شد.

ترکیب روشهای المانهای مرزی با روش اجزاء محدود

به منظور آشنایی با نحوه ترکیب BEM و FEM، یک مساله الاستودینامیکی با حجم V را مطابق شکل (۱) در نظر بگیرید. این مساله متشکل از دو حجم V_1 که با FEM آنالیز می‌شود و حجم V_2 که با BEM تحلیل می‌گردد، می‌باشد. نواحی V ، V_1 و V_2 به ترتیب دارای مرزهای S_2US_{12} و S_1US_{12} می‌باشند. فرم ماتریسی معادلات در حالت دینامیکی هارمونیک برای ناحیه V_1 مطابق زیر می‌باشد:

$$(D^1)\{U^1\} = \{R^1\} \quad (4)$$



شکل ۱: یک جسم سه بعدی مرکب از دو ناحیه V_1 و V_2

بردار $\{R^1\}$ بردار نیروهای گرهی و ماتریس $[D^1]$ ماتریس منحنی سختی دینامیکی می‌باشد. برای ناحیه V_2 نیز رابطه زیر برقرار است:

انتشار امواج در محیطهای الاستیک

مسائل اندرکنش خاک و سازه مبتنی بر تئوری انتشار امواج است و یکی از مسائل بسیار مهم در آن، تفرق امواج می باشد که در این بخش به آن پرداخته خواهد شد.

تفرق امواج توسط سازه های مدفون

هنگامی که موج به بی نظمی های محدود سطح زمین مانند گودالها یا بی نظمی های زیرزمین مانند حفره ها، تونلها و اجسام زیرزمینی برخورد می کند بدلیل متفاوت بودن خصوصیات محیط اولیه و بی نظمی موجود، قسمتی از آن تغییر مسیر داده و قسمت دیگر در این محیط انتشار می یابد. به این فرآیند تفرق^(۱) گفته می شود. در عمل فرض می شود که موج اولیه در برخورد به این بی نظمی بدون تغییر منتشر می شود و در همین هنگام محیط دوم خود تبدیل به یک منبع موج می گردد و با ارتعاشات خود یک موج ثانویه به نام موج تفرق یافته^(۲) ایجاد می کند بگونه ای که مجموع این دو موج بیانگر حالت واقعی باشد. بنابراین در مسائل تفرق امواج، میدان تغییر مکان کل U_i بعنوان مجموع میدان تغییر مکان آزاد U_i^f و میدان تغییر مکان تفرق یافته U_i^s تعریف می شود. یعنی:

$$U_i = U_i^f + U_i^s \quad (16)$$

این موضوع در شکل (۲) نشان داده شده است. برای محیط بینهایت (خاک) روابط انتگرالی مذکور در بخش ۳ برقرار است و می توان رابطه (۱۶-۳) را برای میدان تفرق یافته مطابق زیر بازنویسی کرد.

$$[F]\{U^s\} = [G]\{f^s\} \quad (17)$$

نمود. بدین منظور ابتدا این روابط تقسیم بندی می شوند بگونه ای که گره های آزاد (f) در کنار هم و گره های مشترک (c) در کنار یکدیگر واقع شوند. بنابراین روابط زیر حاصل خواهند شد:

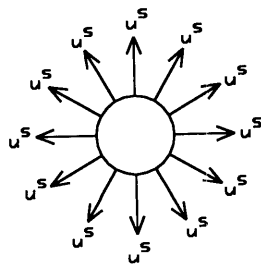
$$\begin{bmatrix} D_{ff}^1 & D_{fc}^1 \\ D_{cf}^1 & D_{cc}^1 \end{bmatrix} \begin{Bmatrix} U_{ff}^1 \\ U_{cc}^1 \end{Bmatrix} = \begin{Bmatrix} R_{ff}^1 \\ R_{cc}^1 \end{Bmatrix} \quad (13)$$

$$\begin{bmatrix} D_{ff}^2 & D_{fc}^2 \\ D_{cf}^2 & D_{cc}^2 \end{bmatrix} \begin{Bmatrix} U_{ff}^2 \\ U_{cc}^2 \end{Bmatrix} = \begin{Bmatrix} R_{ff}^2 \\ R_{cc}^2 \end{Bmatrix} \quad (14)$$

با استفاده از شرایط (۶) در مورد صفحه اشتراک، روابط فوق به شکل زیر تبدیل می شوند:

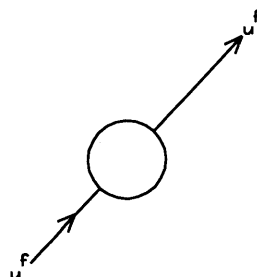
$$\begin{bmatrix} D_{ff}^1 & D_{fc}^1 & 0 \\ D_{cf}^1 & D_{cc}^1 + D_{cc}^2 & D_{cf}^2 \\ 0 & D_{fc}^2 & D_{ff}^2 \end{bmatrix} \begin{Bmatrix} U_{ff}^1 \\ U_{cc}^1 \\ U_{ff}^2 \end{Bmatrix} = \begin{Bmatrix} R_{ff}^1 \\ 0 \\ R_{ff}^2 \end{Bmatrix} \quad (15)$$

با حل رابطه فوق، مقادیر تغییر مکانهای مجهول بدست می آید. سپس با جایگزینی این تغییر مکانها در روابط (۱۳) یا (۱۴) مقدار نیروهای گرهی در گره های مشترک V_1 و V_2 بدست می آید. همچنین می توان کلیه بردارهای تنش و در نتیجه تنشهای مجهول را بدست آورد.



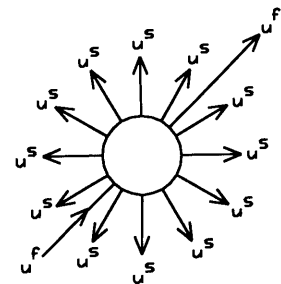
(c)

c. تفرق امواج ناشی از ارتعاش سازه.



(b)

b. پاسخ میدان آزاد U^f .



(a)

رکل ۲: a. پاسخ کل سیستم U^f .

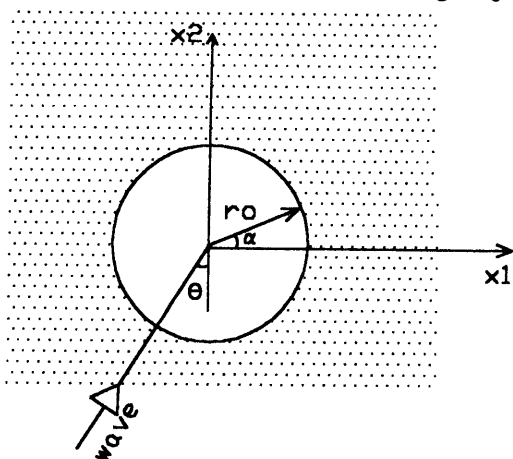
که π بردار عمود بر مرز در نقطه مورد نظر است. بدین ترتیب می توان از بردارهای u_i^f و t_i^f در روابط مربوطه استفاده نمود.

بررسی پاسخ تونل در چند حالت خاص

در بخشهای پیش چگونگی بدست آمدن روابط انتگرال مرزی برای تونل و نحوه حل آنها مورد بررسی قرار گرفت. در این بخش چند مثال عددی مطرح شده و پاسخ آنها مورد بررسی قرار می گیرد. از آنجا که آنالیز در فضای فرکانسی انجام می شود، سعی بر این است که مقادیر پاسخ برای فرکانسهای مختلف بدست آید. بدین منظور پارامتر بی بُعد فرکانس مطابق زیر تعریف می شود:

$$a_0 = \omega r / C_2$$

که در آن ω فرکانس موج، r شعاع تونل و C_2 سرعت امواج برشی است. این پارامتر علاوه بر فرکانس، اثرات شعاع و مشخصات محیط (سرعت موج) را نیز بطور همزمان در نظر می گیرد. بنابراین برای بیان پاسخ تونل بسیار مناسب تر از فرکانس است.



شکل ۳: تونل دایروی بدون دایره.

در ابتدا یک دایروی بدون دیواره به قطر ۶ متر (شکل ۳) تحت اثر موج P مورد بررسی قرار می گیرند. این موج با زوایای $\theta = 0^\circ$ و $\theta = 90^\circ$ نسبت به محور X_2 و با فرکانس بی بُعد $a_0 = 1.0$ به تونل می تابد، برای آنالیز این تونل، مرز آن به ۵ المان ۳ گرهی (درجه ۲) تقسیم شده و تحلیل انجام گرفته است. پاسخ تغییر مکان مرز این تونل در شکل ۴ نشان داده شده است.

در حالیکه تونل بدون دیواره باشد، بردار تنش در مرز تونل صفر خواهد بود یعنی:

$$t_i = t_i^s + t_i^f = 0 \quad (18)$$

بنابراین با معلوم بودن t_i^f ، بردار t_i^s نیز محاسبه شده و می توان از رابطه (۱۷) دیگر مجهولات مرزی را محاسبه نمود. در حالیکه تونل دارای دیواره باشد، رابطه (۱۷) برای مرز محیط خاکی بینهایت برقرار است و با استفاده از بخش ۴ می توان آن را با روش FEM بکار رفته برای تحلیل دیواره ترکیب نمود.

بردارهای تنش و تغییر مکان های میدان آزاد

همانطور که در بخش قبل مشاهده شد برای حل مساله باید مقادیر بردارهای تنش و تغییر مکانهای میدان آزاد معلوم باشد. باتوجه به فرض کرنش مسطح، در این مقاله تنها امواج P و SV در نظر گرفته می شوند و روابط مربوطه برای آنها ارائه می شود. در صورتی که موج برخوردی P باشد، مولفه های این موج در راستای محورهای X_1 و X_2 مطابق زیر بیان می شوند:

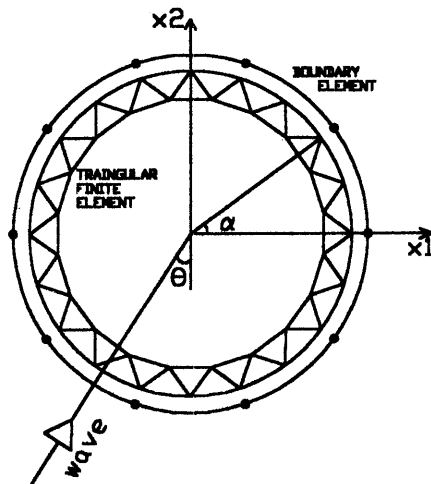
$$\begin{aligned} U_1^f &= A_0 \sin \theta_0 \exp(iK_1(X_1 \sin \theta_0 + X_2 \cos \theta_0)) \\ U_2^f &= A_0 \cos \theta_0 \exp(iK_1(X_1 \sin \theta_0 + X_2 \cos \theta_0)) \end{aligned} \quad (19)$$

البته از سمت راست روابط فوق جمله $\exp(-i\omega t)$ بدلیل آنکه در فضای فرکانسی کار می کنیم حذف شده است. در حالیکه موج برخوردی SV باشد، مولفه های آن مطابق زیر خواهند بود:

$$\begin{aligned} U_1^f &= -A_0 \cos \theta_0 \exp(iK_2(X_1 \sin \theta_0 + X_2 \cos \theta_0)) \\ U_2^f &= A_0 \sin \theta_0 \exp(iK_2(X_1 \sin \theta_0 + X_2 \cos \theta_0)) \end{aligned} \quad (20)$$

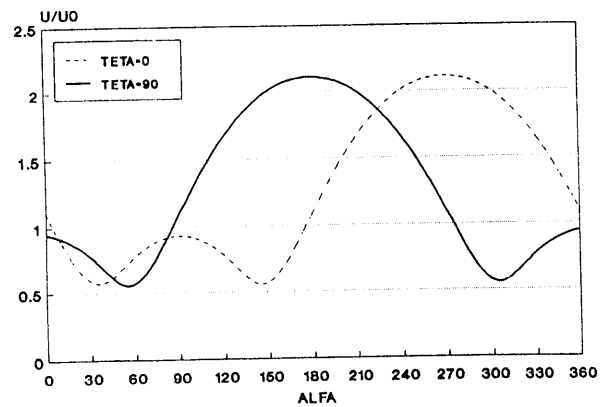
در روابط فوق A_0 دامنه موج و θ_0 زاویه راستای انتشار موج با محور قائم (X_2) می باشد. همچنین $K_1 = \frac{\omega}{C_1}$ و $K_2 = \frac{\omega}{C_2}$ که در آنها C_1 و C_2 به ترتیب سرعت انتشار موج های P و SV هستند با استفاده از روابط (۱-۲) و (۱-۳) می توان تانسورهای تنش و کرنش را محاسبه کرد. بنابراین بردارهای تنش از رابطه زیر بدست می آیند:

$$t_i^f = \sigma_{ij} n_j \quad (21)$$



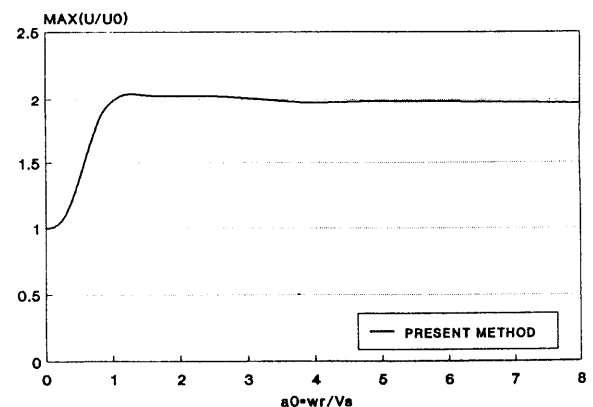
شکل ۶: المان بندی یک تونل دایروی دارای دیواره .

الاستیسیته و ضریب پواسون دیواره به محیط یعنی E_c/E_M و ν_c/ν_M نیز اهمیت می یابد. در شکل ۶ یک تونل دایروی دارای دیواره نشان داده شده است. این تونل دارای قطر ۶ متر و ضخامت دیواره ۶۰ سانتیمتر است و برای آنالیز آن، مرز به ۵ المان سه گرهی (درجه ۲) و دیواره به ۲۰ المان مثلثی (برای آنالیز با FEM) المان بندی شده است. در ابتدا فرض می شود که $E_c/E_M = 3$ و $\nu_c/\nu_M = 1$ و این تونل یک بار تحت اثر موج P و در راستای افقی و $\theta = 90^\circ$ و یک بار تحت اثر موج SV در راستای افقی با فرکانسهای بی بُعد مختلف قرار می گیرد. نسبت $\frac{\sigma_{\theta\theta}}{\sigma_0}$ (نسبت تنش محیطی حاصله به تنش وارده) در شکلهای ۷ و ۸ نمایش داده شده است. مشاهده می شود که تا حدود فرکانس $a_0 = 0.5$ این نسبت افزایش یافته و سپس با افزایش بیشتر فرکانس، مقدار آن با شیب کم کاهش یافته و در فرکانسهای بالا این نسبت تقریباً ثابت می ماند. نتایج تحقیقات مور و گوان^(۱) بر روی تونلی مشابه در همان شکلهای نشان داده شده است. آنها در تحقیقات خود از روش انعکاسات متوالی^(۲) استفاده کرده اند. در مطالعه ای دیگر همان تونل با فرض $\nu_c/\nu_M = 1$ و $E_c/E_M = 10$ تحت اثر موج P با زاویه $\theta = 30^\circ$ قرار گرفته و تونل آنالیز شده است. در شکل ۹ نسبت تنشهای محیطی و شعاعی حاصله در مرز به تنش وارده (یعنی $\frac{\sigma_{rr}}{\sigma_0}$ و $\frac{\sigma_{\theta\theta}}{\sigma_0}$) در طول محیط دیواره نشان داده شده است. در شکل ۱۰ نیز نسبت تغییر مکان حاصله در مرز تونل به دامنه موج وارده (U/U_0) رسم شده است. همانطور که مشاهده می شود در حدود



شکل ۴: پاسخ تغییر مکانی مرز تونل دایروی بدون دیواره تحت اثر موج P با زاویای برخورد متفاوت .

در مطالعه ای دیگر همین تونل تحت اثر موج P با زاویه تابش $\theta = 30^\circ$ و با فرکانسهای بی بُعد مختلف قرار گرفته است. شکل ۵ نتیجه حاصله را نشان می دهد. مطابق این شکل، در حالتی که a_0 بسیار کم باشد، مسئله مانند حالت استاتیکی بوده و $\max(u/u_0) = 1.0$ خواهد بود. با افزایش a_0 مقدار $\max(u/u_0)$ به سرعت افزایش می یابد و در حدود فرکانس $a_0 = 1.25$ این پاسخ به ماکزیمم مقدار خود یعنی $\max(u/u_0) = 2$ می رسد، سپس با افزایش فرکانس مقدار آن تقریباً ثابت می ماند.

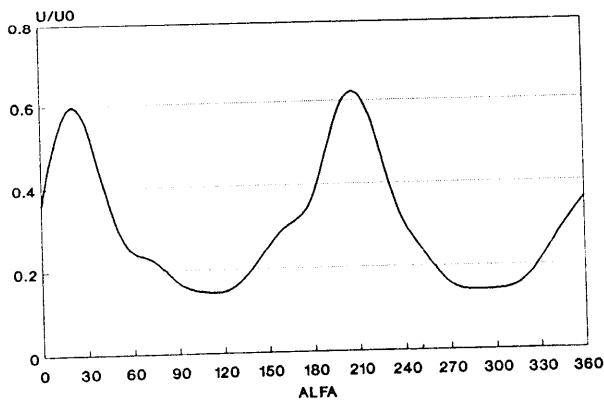


شکل ۵: پاسخ تغییر مکانی ماکزیمم مرز تونل دایروی بدون دیواره نسبت به فرکانسهای بی بُعد مختلف .

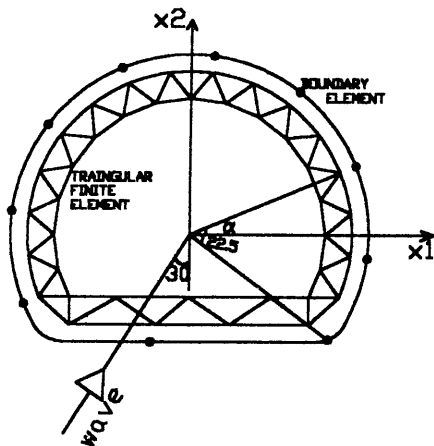
درحالتی که تونل دارای دیواره باشد، علاوه بر نسبت فرکانس بی بُعد a_0 و زاویه تابش موج θ ، نسبت به مدول

$(\alpha = 245^\circ)$ یعنی محل برخورد موج میزان تنشها و تغییر مکانها ماکزیمم است.

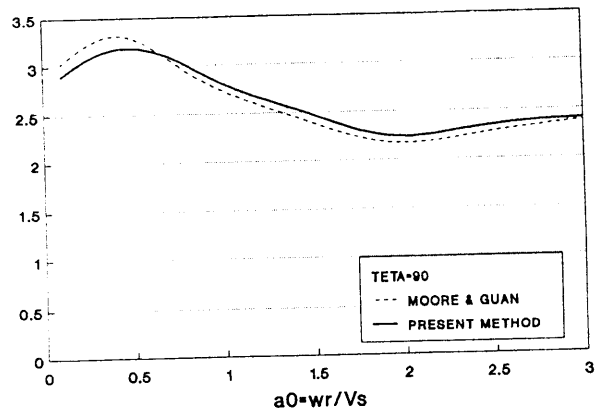
معمولاً تونلهای ترابری به شکل نعل اسبی هستند و این تونلها دارای کاربرد بیشتری نسبت به بقیه انواع آن می باشند. در شکل ۱۱ یک تونل نعل اسبی دارای دیواره نشان داده شده است. قسمت دایره آن دارای قطر ۶ متر و قسمت افقی کف تونل دارای طول ۵/۵۰ متر است. در ابتدا حالت بدون دیواره بررسی می گردد. فرض می شود که موج هارمونیک P با زاویه تابش $\theta = 30^\circ$ و فرکانس $\frac{\sigma_{\theta\theta}}{\sigma_0} = 1.0$ به تونل بتابد. تنشهای محیطی حاصله $\frac{\sigma_{\theta\theta}}{\sigma_0}$ و تغییر مکانهای محیطی ایجاد شده (U/U_0) در مرز این تونل به ترتیب در شکلهای ۱۲ و ۱۳ نشان داده شده است. مطابق شکل ۱۲ تنشهای محیطی در زوایای $\alpha = 240^\circ$ و $\alpha = 60^\circ$ یعنی محل برخورد موج ماکزیمم هستند.



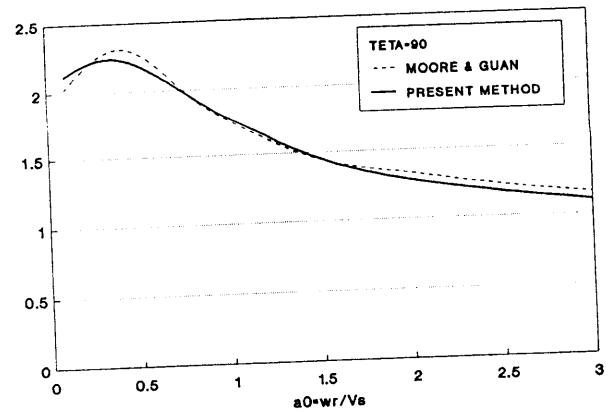
شکل ۱۰: پاسخ تغییر مکانی مرز تونل دارای دیواره تحت اثر موج P با زاویه برخورد $\theta = 30^\circ$.



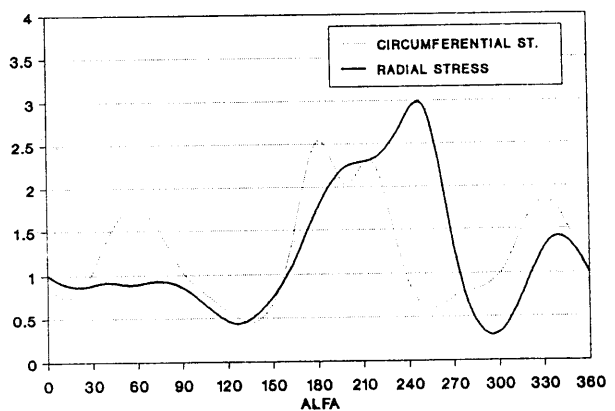
شکل ۱۱: المان بندی یک تونل نعل اسبی دارای دیواره.



شکل ۷: پاسخ تنش محیطی ماکزیمم در یک تونل دارای دیواره تحت اثر موج SV نسبت به فرکانسهای بی بعد مختلف.



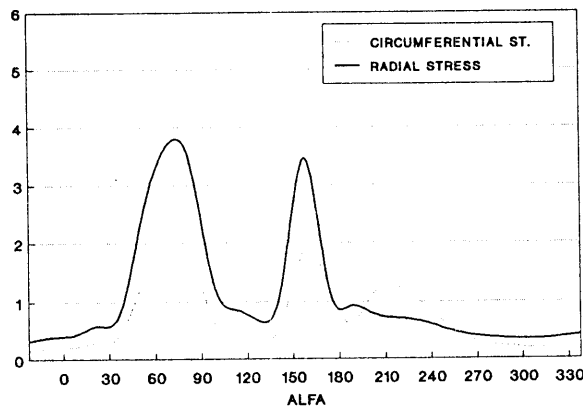
شکل ۸: پاسخ تنش محیطی ماکزیمم در یک تونل دارای دیواره تحت اثر موج P نسبت به فرکانسهای بی بعد مختلف.



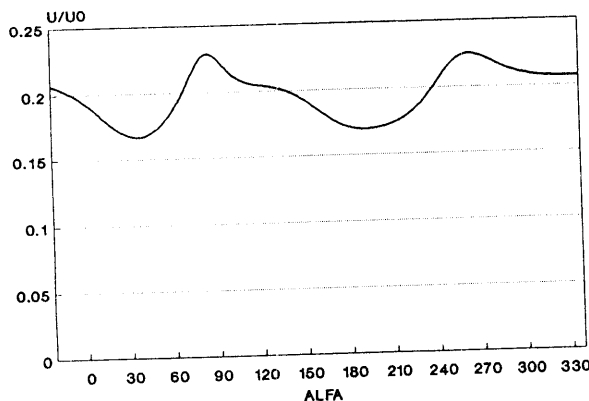
شکل ۹: پاسخ تنش محیطی و شعاعی در یک تونل دارای دیواره تحت اثر موج P با زاویه برخورد $\theta = 30^\circ$.

نتیجه گیری

باتوجه به مطالب ارائه شده، تنشها و تغییر مکان ها در مرز تونل ممکن است نسبت به حالتی که تفرق امواج در نظر گرفته نشود تا حدود سه برابر افزایش یابد. میزان این افزایشها بطور کلی به عوامل زیر بستگی دارد: شکل تونل، ضخامت و جنس دیواره در صورت وجود، مشخصات موج برخوردی شامل نوع پلاریزاسیون، زاویه برخورد، دامنه نوسان و فرکانس نوسان، عمق تونل و جنس محیط نامحدود. بنابراین برای طرح دیواره تونل و متعلقات آن باید آنالیزی دقیق که کلیه جزئیات و مفاهیم اندرکنش خاک و سازه را در نظر می گیرد، انجام شود و مقدار این افزایش تنشها مشخص گردد.

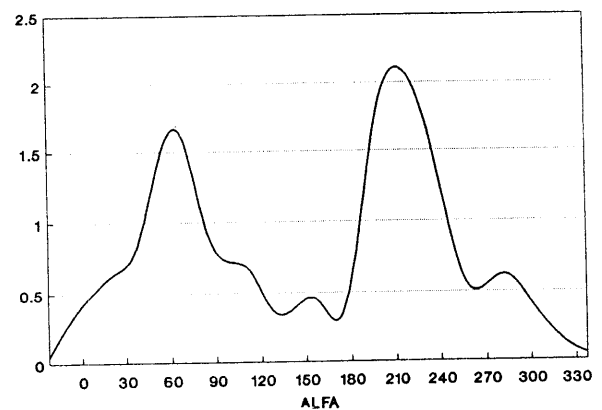


شکل ۱۴: پاسخ تنش محیطی و شعاعی در یک تونل نعل اسبی دارای دیواره تحت اثر موج P با زاویه برخورد $\theta = 30^\circ$.

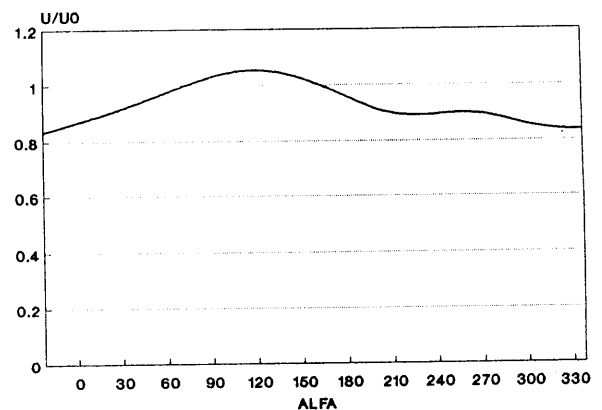


شکل ۱۵: پاسخ تغییر مکانی در یک تونل نعل اسبی دارای دیواره تحت اثر موج P با زاویه برخورد $\theta = 30^\circ$.

برای بررسی تونل نعل اسبی دارای دیواره فرض می شود $E_c / E_M = 10$ و $\nu_c / \nu_M = 1.0$ زاویه موج برخوردی برابر $\theta = 30^\circ$ و فرکانس آن برابر $a_0 = 1.0$ در نظر گرفته می شود. به منظور آنالیز این تونل، مرز به ۵ المان سه گرهی (درجه ۲) و دیواره به ۲۰ المان مثلثی تقسیم شده است. در شکل ۱۴ نسبت تنشهای شعاعی و محیطی به تنش اولیه $(\frac{\sigma_{\theta\theta}}{\sigma_0} و \frac{\sigma_{rr}}{\sigma_0})$ نشان داده شده است. در شکل ۱۵ نیز مقدار تغییر مکان مرزی تونل نسبت به دامنه موج وارده (U/U_0) نشان داده شده است.



شکل ۱۶: پاسخ تنش محیطی در یک تونل نعل اسبی بدون دیواره تحت اثر موج P با زاویه برخورد $\theta = 30^\circ$.



شکل ۱۷: پاسخ تغییر مکانی در یک تونل نعل اسبی بدون دیواره تحت اثر موج P با زاویه برخورد $\theta = 30^\circ$.

مراجع

- 1 - Banerjee, P. K., and Butterfield R. (1981). "Boundary Element Methods in Engineering Science". MacGraw-Hill, London.
- 2 - Bathe, K. J. (1982). "Finite Element Procedures in Engineering Analysis". Prentice-Hall, NewJersey.
- 3 - Brebbia, C. A., and Dominguez, J. (1989). "Boundary Elements: An Introductory Course". MacGraw-Hill, NewJersey.
- 4 - Churchill, R. V., and Brown, J. W. (1987). "Fourier Series and Boundary Value Problems". Forth Edition, MacGraw-Hill, NewJersey.
- 5 - Lee, V. W., and Trifunac, M. D. (1982). "Responce of Tunnels to Incident SH-Waves". *J. eng. Mech.*, div ASCE 108, 1-17.
- 6 - Manolis, G. D., and Beskos, D. E. (1988). "Boundary Element Methods in Elastodynamics." Unwin Hyman, London.
- 7 - Moore, I. D., and Guan, F. (1996). "Tree-Dimensioal Dynamiv Responce of Lined Tunnels due to Incident Sismic Waves". *Earthquake Enginnering and Structural Dynamics*, 25, 357-369.
- 8 - Pao, H. Y., and Mow, C. C. (1973). "The Diffraction of Elastic Waves and Dynamic Stress Conectrations". Crane-Russak, NewYork.
- 9 - Stamos A. A. and Beskos, D. E. (1995). "Dynamic Analysis of Large 3-D Underground Structures by the BEM". *Earthquake Engineering and Structural Dynamics*, 24, 917-934.
- 10 - Wolf, J. P. (1988). "Soil-Structure-Interaction Analysis in Time Domain". Prentice-Hall, NewJersey.

واژه نامه

1 - Body Force	نیروی حجمی
2 - Pressure Wave	موج فشاری
3 - Shear Wave	موج برشی
4 - Traction	بردار تنش
5 - Receiver	دریافت کننده
6 - Source	منبع
7 - Displacement Kernel	تغییر مکان
8 - Jump Term	جمله پرش
9 - Scatering	فرایند تفرق
10 - Scatered Wave	موج تفرق یافته
11 - Moore & Guan	مور و گوان
12 - Successive Reflection Method	انعکاسات متوالی